





دانشکده علوم پایه - گروه شیمی
پایان نامه کارشناسی ارشد - گرایش شیمی فیزیک

عنوان:

بررسی شیمی فیزیکی ساختار و بر هم کنش HSA با داروهای آملودیپین و پروپرانولل در حضور و غیاب میدان مغناطیسی

استاد راهنما:

دکتر محمد رضا حسین دخت

اساتید مشاور:

دکتر جمشید خان چمنی
مصطفی محمود بحرالعلوم

نگارش:

زینب روحبحخش زائری

۱۳۸۷ بهمن

انجام این پروژه با کمک صندوق حمایت از پژوهشگران کشور میسر

شده است که بدین وسیله تشکر خود را اعلام می دارم.

بدین وسیله از پژوهشکده زیست فناوری دانشگاه فردوسی نیز که کمکی در پیش
برد این پروژه داشتند قدر دانی می گردد.

تقدیم به پدر و مادر عزیزم

با نهایت تشکر و قدردانی از

استاد راهنمای عزیزم آقای دکتر حسین دخت که در تمام مدت تحصیل دانشگاهی و انجام پروژه با روی باز و حسن خلق خود مشکلاتم را پاسخگو بوده و با ارائه راهنمایی های ارزنده خود، راهگشايم بوده اند، استاد مشاورگرامی آقای بحرالعلوم که همیشه از راهنمایی ها و حمایت هایشان بهره های زیادی بردم، استاد مشاور محترم آقای دکتر چمنی که با لطف فراوان خود کمک های زیادی در انجام پروژه و نگارش پایان نامه ارائه نمو ده اند، و نیز آقای دکتر طیاری و آقای دکتر آسوده که زحمت مطالعه و داوری این پروژه را به عهده داشتند.

و در آخر از تمام دوستان خوبیم که در این مدت با هم دوران خوبی را گذرانده ایم، به ویژه خانم جوان که همیشه از راهنمایی های خوبشان استفاده کردم، و همچنین از برادر خوبیم، مهدی، که همیشه کمک حال من بوده است، سپاسگزارم.

چکیده:

هدف از این پژوهه، مطالعه‌ی بر هم کنش بین دو دارو، آملودیپین و پروپرانول، با HSA در شرایط بافر زیستی (pH 7/4) در غیاب و حضور میدان مغناطیسی (۳ و ۵۲ میلی تسل)، با استفاده از روش‌های طیف سنجی UV-Vis، فلورسانس و دو رنگ نمایی دورانی (CD) بود.

با استفاده از اطلاعات طیف سنجی UV-Vis و استفاده از معادله‌ی هیل، ثابت پیوندی (K)، ظرفیت پیوندی (g) و ثابت هیل برای بر هم کنش هر دو دارو محاسبه شدند. نتایج نشان دادند که پارامترهای پیوندی در غیاب و حضور میدان مغناطیسی متفاوت بودند.

طیف‌های فلورسانس HSA در حضور آملودیپین نشان دادند که شدت فلورسانس کاهش پیدا کرد، در نتیجه این دارو به عنوان یک خاموش کننده‌ی فلورسانس عمل می‌کند؛ در حالیکه، در حضور پروپرانول، شدت فلورسانس افزایش می‌یابد. میدان مغناطیسی نیز در هر دو مورد، باعث افزایش شدت فلورسانس شد.

طیف CD نشان داد که ساختار دوم پروتئین در حضور هر دو داروی آملودیپین و پروپرانول تغییر می‌کند. به این صورت که، که آملودیپین و پروپرانول به ترتیب افزایش و کاهش درصد مارپیچ آلفا را در ساختار HSA القا کردند. کاربرد میدان مغناطیسی در این مورد نیز، باعث یک تغییر کوچک در طیف CD شد.

کلید واژه: آملودیپین؛ پروپرانول؛ HSA؛ طیف سنجی UV-Vis؛ طیف سنجی فلورسانس؛ طیف سنجی دو رنگ نمایی دورانی؛ میدان مغناطیسی

فهرست مطالب

فصل اول: مقدمه

۱-۱ سرم آلبومین انسانی (HSA) ۲
۱-۱-۱ ساختمان HSA ۲
۱-۱-۱-۱ اتصال لیگاندهای مختلف به HSA ۴
۱-۱-۱-۲ پیوند شدن لیگاند به ماکروملکول ۶
۱-۱-۱-۳ پیوند شدن لیگاند به ماکروملکول دارای یک مجموعه جایگاه یکسان و مستقل ۷
۱-۱-۱-۴ پیوند شدن لیگاند به ماکروملکول دارای چندین مجموعه از جایگاه های مستقل ۸
۱-۱-۱-۵ پیوند شدن لیگاند به ماکروملکول با چندین جایگاه یکسان و وابسته ۹
۱-۱-۱-۶ تشخیص نوع برهم کنش لیگاند به ماکروملکول برای یک دسته جایگاه ۹
۱-۱-۱-۷ معرفی داروها ۱۱
۱-۱-۱-۸ آملودپیپن (باسیلات) ۱۱
۱-۱-۱-۹ مکانیسم عمل آملودپیپن ۱۲
۱-۱-۱-۱۰ پروپرانول ۱۳
۱-۱-۱-۱۱ مکانیسم عمل پروپرانول ۱۴
۱-۱-۱-۱۲ میدان مغناطیسی ۱۵
۱-۱-۱-۱۳ میدان مغناطیسی زمین ۱۶
۱-۱-۱-۱۴ تأثیر مغناطیسی بر روی سیستم های زیستی ۱۷
۱-۱-۱-۱۵ میدانهای مغناطیسی ساکن ۱۹

۱-۴-۳-۱ میدان مغناطیسی ساکن ضعیف ۱۹

۱-۴-۳-۲ میدان مغناطیسی ساکن متوسط ۲۰

۱-۴-۳-۳ میدان مغناطیسی ساکن قوی و فوق قوی ۲۱

فصل دوم: بخش تجربی

۱-۲ وسایل و دستگاه ها ۲۴

۲-۲ مواد مورد استفاده ۲۴

۳-۲ روشها ۲۵

۱-۳-۲ طیف سنجی جذبی مرئی - فراینش (UV-Vis) ۲۵

۱-۳-۲-۱ تعیین ضریب جذب HSA ۲۵

۱-۳-۲-۲ تعیین ضریب جذب داروی آزاد ۲۵

۳-۱-۳-۲ تعیین ضریب جذب داروی اتصال یافته به HSA ۲۶

۳-۱-۳-۲-۴ بدست آوردن کمیت های ترمودینامیکی اتصال دارو به HSA ۲۶

۳-۱-۳-۲-۵ اثر میدان مغناطیسی در مطالعات طیف سنجی UV ۲۶

۲-۳-۲ طیف سنجی فلورسانس ۲۷

۱-۲-۳-۲ مطالعه برهم کنش داروی آملودیپین و HSA ۲۷

۲-۲-۳-۲ مطالعه برهم کنش داروی پروپرانول و HSA ۲۷

۳-۲-۳-۲ اثر میدان مغناطیسی در طیف سنجی فلورسانس ۲۷

۳-۳-۲ طیف سنجی دورنگ نمایی دورانی (CD) ۲۸

۱-۳-۳-۲ مطالعه برهم کنش دارو و HSA ۲۸

۲-۳-۳-۲ اثر میدان مغناطیسی در طیف سنجی دورنگ نمایی دورانی ۲۸

فصل سوم: بحث و نتیجه گیری

۳۰	۱-۳ اسپکتروسکوپی جذبی در ناحیه مرئی و فرابنفش (UV-Vis)
۳۰	۱-۱-۳ محاسبه ضریب جذب HSA در غیاب و حضور میدان مغناطیسی
۳۳	۲-۱-۳ بررسی اتصال داروی آملودیپین به HSA
۴۵	۳-۱-۳ بررسی اتصال داروی پروپرانول به HSA
۵۶	۲-۳ طیف سنجی فلورسانس
۵۶	۱-۲-۳ مطالعه برهم کنش داروی آملودیپین و HSA
۵۹	۲-۲-۳ مطالعه برهم کنش داروی پروپرانول و HSA
۶۲	۳-۳ طیف سنجی دورنگ نمایی دورانی (CD)
۶۳	۱-۳-۳ مطالعه برهم کنش داروی آملودیپین و HSA
۶۷	۲-۲-۳ مطالعه برهم کنش داروی پروپرانول و HSA
۷۱	۴-۳ نتیجه گیری کلی
۷۱	۴-۳-۱ بررسی اتصال داروها به HSA
۷۱	۴-۳-۲ تأثیر میدان مغناطیسی بر روی اتصال داروها به HSA
۷۲	۵-۳ پیشنهادات

فهرست شکل ها و نمودارها

..... ۳ شکل ۱-۱- ساختار HSA
..... ۸ شکل ۲-۱- نمودار اسکاچارد برای n جایگاه مستقل و یکسان
..... ۱۱ شکل ۳-۱- آملودیپین باسیلات
..... ۱۳ شکل ۴-۱- پروپرانول
..... ۱۷ شکل ۵-۱- میدان مغناطیسی زمین
..... ۳۰ شکل ۱-۳- طیف HSA با غلظت های مختلف
..... ۳۱ شکل ۲-۲- نمودار کالیبراسیون HSA در طول موج ۲۷۸ نانومتر
..... ۳۱ شکل ۳-۲- مقایسه نمودارهای کالیبراسیون HSA در میدان های مختلف
..... ۳۳ شکل ۴-۳ - طیف آملودیپین با غلظت های مختلف
..... ۳۴ شکل ۵-۳- نمودار کالیبراسیون آملودیپین در طول موج ۲۳۹ نانومتر
..... ۳۴ شکل ۶-۳- مقایسه جذب آملودیپین در طول موج ۲۳۹ نانومتر در میدانهای مختلف
..... ۳۵ شکل ۷-۳- نمودار کالیبراسیون آملودیپین در طول موج ۳۶۵ نانومتر
..... ۳۵ شکل ۸-۳ - مقایسه جذب آملودیپین در طول موج ۳۶۵ نانومتر در میدانهای مختلف
..... ۳۸ شکل ۹-۳ - نمودار A/P بر حسب $1/\lambda$ برای آملودیپین در طول موج ۲۳۹ nm
..... ۴۰ شکل ۱۰-۳ - اثر افزایش آملودیپین بر طیف HSA
..... ۴۰ شکل ۱۱-۳- جذب پروتئین HSA در طول موج ۲۳۹ nm در حضور غلظت های مختلف آملودیپین، در غیاب و حضور میدان های مختلف
..... ۴۱ شکل ۱۲-۳- ایزوترم پیوندی آملودیپین
..... ۴۱ شکل ۱۳-۳- ایزوترم های پیوندی برهم کنش آملودیپین با HSA در میدان های مختلف

- شکل ۳-۱۴- نمودار اسکارچارد برهم کنش آملودیپین با HSA ۴۲
- شکل ۳-۱۵- نمودارهای اسکارچارد برهم کنش آملودیپین با HSA در میدانهای مختلف ۴۲
- شکل ۳-۱۶- نمودار هیل برهم کنش آملودیپین با HSA ۴۳
- شکل ۳-۱۷- طیف پراپر انول با غلاظت های مختلف ۴۵
- شکل ۳-۱۸- نمودار کالیبراسیون پروپر انول در طول موج ۲۱۴ نانومتر ۴۶
- شکل ۳-۱۹- مقایسه جذب پروپر انول در طول موج ۲۱۴ نانومتر در میدان های مختلف ۴۶
- شکل ۳-۲۰- نمودار کالیبراسیون پروپر انول در طول موج ۲۸۹ نانومتر ۴۷
- شکل ۳-۲۱- مقایسه جذب پروپر انول در طول موج ۲۸۹ نانومتر در میدان های مختلف ۴۷
- شکل ۳-۲۲- نمودار کالیبراسیون پروپر انول در طول موج ۳۱۹ نانومتر ۴۸
- شکل ۳-۲۳- مقایسه جذب پروپر انول در طول موج ۳۱۹ نانومتر در میدان های مختلف ۴۸
- شکل ۳-۲۴- نمودار A/P بر حسب nm در طول موج ۲۸۹ nm ۴۹
- شکل ۳-۲۵- اثر افزایش پروپر انول بر طیف HSA ۵۱
- شکل ۳-۲۶- جذب ۲۸۹ nm پروتئین HSA در حضور غلاظت های مختلف پرپر انول، در غیاب و حضور میدان های مختلف ۵۱
- شکل ۳-۲۷- ایزوترم پیوندی پروپر انول ۵۲
- شکل ۳-۲۸- مقایسه ایزوترم های پیوندی برهم کنش پروپر انول با HSA در میدان های مختلف ۵۲
- شکل ۳-۲۹- نمودار اسکارچارد برهم کنش پروپر انول با HSA ۵۳
- شکل ۳-۳۰- نمودارهای اسکارچارد برهم کنش پروپر انول با HSA در میدان های مختلف ۵۳
- شکل ۳-۳۱- نمودار هیل برهم کنش پروپر انول HSA ۵۴
- شکل ۳-۳۲- اثر آملودیپین بر روی طیف فلورسانس HSA ۵۶

- شکل ۳-۳۴- شدت فلورسانس HSA در طول موج ۳۴۰ nm در حضور غلظت های مختلف آملودیپین،
در غیاب و حضور میدان های مختلف..... ۵۷
- شکل ۳-۳۵- اثر پروپرانولل بر طیف فلورسانس HSA ۵۹
- شکل ۳-۳۷- شدت فلورسانس HSA در طول موج ۳۴۰ nm در حضور غلظت های مختلف پروپرانولل
در غیاب و حضور میدان های مختلف..... ۶۱
- شکل ۳-۳۸- اثر افزایش آملودیپین بر طیف دو رنگ نمایی دورانی HSA ۶۳
- شکل ۳-۳۹- اثر افزایش آملودیپین بر طیف HSA در طول موج ۲۲۰ nm ۶۴
- شکل ۳-۴۰- اثر افزایش آملودیپین بر طیف HSA در طول موج ۲۲۰ nm در میدان های مختلف ۶۴
- شکل ۳-۴۱- اثر افزایش پروپرانولل بر طیف دو رنگ نمایی HSA ۶۷
- شکل ۳-۴۲- اثر افزایش پروپرانولل بر طیف HSA در طول موج ۲۲۰ nm ۶۸
- شکل ۳-۴۳- اثر افزایش پروپرانولل بر طیف HSA در طول موج ۲۲۰ nm در میدان های مختلف..... ۶۸

فهرست جدول ها

جدول ۳-۱-۳- مقادیر ضریب جذب مولی HSA در طول موج ۲۷۸ نانومتر در میدانهای مختلف ۳۲
جدول ۳-۲-۳- مقادیر ضریب جذب مولی آملودیپین آزاد در طول موج های ۲۳۹ و ۳۶۵ نانومتر در میدان های مختلف ۳۶
جدول ۳-۳- مقادیر ضریب جذب مولی آملودیپین اتصال یافته در طول موجهای ۲۳۹ و ۳۶۵ نانومتر در میدانهای مختلف ۳۸
جدول ۳-۴- ثابت های پیوندی آملودیپین در طول موجهای ۲۳۹ نانومتر در میدان های مختلف ۴۴
جدول ۳-۵- مقادیر ضریب جذب مولی پروپرانول آزاد در طول موج های ۲۱۴ و ۲۸۹ و ۳۱۹ نانومتر در میدان های مختلف ۴۹
جدول ۳-۶- مقادیر ضریب جذب مولی پروپرانول اتصال یافته در طول موجهای ۲۱۴ و ۲۸۹ و ۳۱۹ نانومتر در میدان های مختلف ۵۰
جدول ۳-۷- ثابت های پیوندی پروپرانول در طول موج ۲۸۹ nm نانومتر در میدان های مختلف ۵۵
جدول ۳-۸- درصد ساختارهای HSA، پس از افزایش حجم های متفاوتی از آملودیپین ۶۵
جدول ۳-۹- درصد ساختارهای HSA، پس از افزایش حجم های متفاوتی از آملودیپین، در حضور میدان ۶۵
جدول ۳-۱۰- درصد ساختارهای HSA، پس از افزایش حجم های متفاوتی از آملودیپین، در حضور میدان ۵۲ mT ۶۶
جدول ۳-۱۱- درصد ساختارهای HSA، پس از افزایش حجم های متفاوتی از پروپرانول ۶۹
جدول ۳-۱۲- درصد ساختارهای HSA، پس از افزایش حجم های متفاوتی از پروپرانول، در حضور میدان ۳ mT ۶۹

جدول ۱۳-۳- درصد ساختارهای HSA، پس از افزایش حجم های متفاوتی ازپروپرانول، در حضور

۷۰ ۵۲ mT میدان

فصل اول

مقدمہ

۱-۱ سرم آلبومین انسانی (HSA)

سرم آلبومین انسانی (HSA)، با غلظت $۰/۳۳$ میلی مولار فراوان ترین پروتئین در پلاسمای خون است که در کبد تولید می شود [۱]. HSA از ۵۸۵ آمینو اسید منفرد با جرم ملکولی $۶۶۴۱۱ \text{ g mol}^{-۱}$ تشکیل شده است. که اعمال زیستی زیادی از جمله تنظیم فشار اسمزی کلوئید و انتقال لیگاندهای مختلف را در سیستم گردش خون عهده دار است [۲]. نقش مهمی در حمل و استقرار^۱ گستره وسیعی از مواد داخلی و خارجی مثل اسیدهای چرب، هورمون ها و داروها بر عهده دارد [۵ و ۴ و ۳]. در نتیجه دانستن تمایل یک لیگاند برای اتصال به HSA اهمیت زیادی دارد.

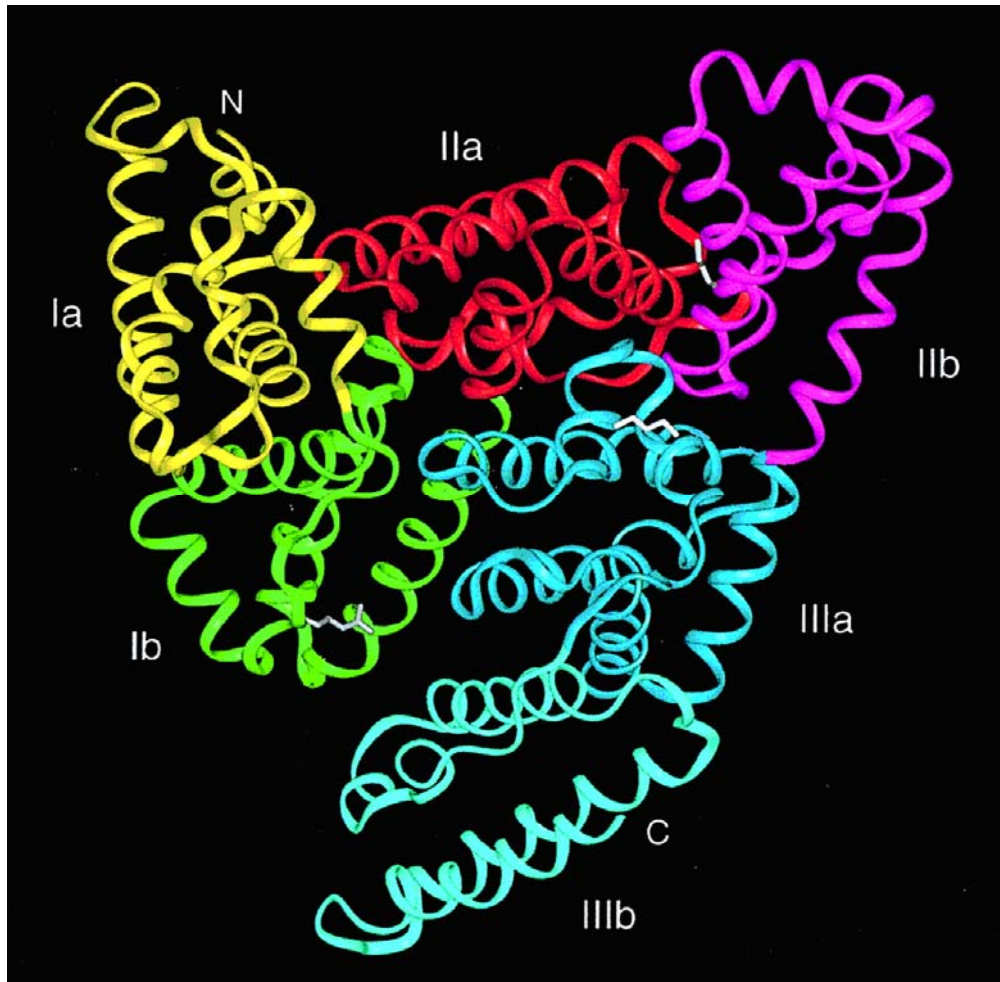
۱-۱-۱ ساختمان HSA

ساخترار سه بعدی HSA بوسیله ایکس ریزی کریستالوگرافی اشعه ایکس تعیین شده است [۳]. با توجه به ساختار کریستالی HSA یک ملکول نامتقارن قلبی شکل با پهنهای ۸ نانومتر، خصامت ۳ نانومتر و ارتفاع $۶/۹$ نانومتر که تقریباً می توان سطح مقطع آن را به صورت یک مثلث متساوی الاضلاع فرض کرد [۶]. این پروتئین کروی از سه دامنه مارپیچی آلفا مشابه (I, II, III) تشکیل شده است، که هر دامنه به دو زیر دامنه (A و B) تقسیم می شود [۷ و ۳].

مکان های اصلی پیوند لیگاند روی HSA در حفره های آبگریزی در زیر مجموعه های IA و IIA هستند، که به ترتیب مربوط به جایگاه I و جایگاه II می شوند. جایگاه I با بیشتر ملکول های خنثی، آبگریزی، حجمی و هتروسیکلی با یک بار منفی بوسیله برهم کنش هیدروفوبی قوی پیوند می دهد

^۱. Deposition

(برای مثال بیلی روین و فنیل بوتازون). جایگاه II اساساً بوسیلهٔ برهم کنش‌های دو قطبی - دو قطبی، واندروالسی و یا پیوندهای هیدروژنی با خیلی از کربوکسیلیک اسیدهای آروماتیک با یک بار منفی در یک انتهای ملکول پیوند می‌شود (مثلاً ایپروپرون و دیازپام) [۸ و ۹]. بیشتر ترکیبات به یکی از این دو جایگاه پیوندی اصلی پیوند می‌شوند [۹]. HSA شامل یک تک باقیماندهٔ تریپتوفان در موقعیت ۲۱۴ در دامنهٔ IIA است که فلورسانس ذاتی آن به لیگاندهای پیوند شدهٔ مجاور حساس است [۱۱ و ۱۲].



شکل ۱-۱- ساختار HSA

۱-۲-۱ اتصال لیگاندهای مختلف به HSA

بسیاری از داروها و ملکول های کوچک (لیگاندها) به طور برگشت پذیری به آلبومین و دیگر اجزای سرم پیوند می شوند که نقش حامل دارند [۱۳].

اتصال لیگاندهای مختلف به HSA، مانند پاک کننده های کاتیونی [۱۴]، پاک کننده های آئیونی [۱۵] و [۱۶]، اسیدهای آلیفاتیک [۱۷]، نانو ذرات [۱۸]، فلزات مختلفی از قبیل روی [۱۹]، کادمیم [۱۹]، مس [۲۰]، کربالت [۲۱]، نقره، نیکل، منگنز [۲۲]، ویتامین های مختلفی مثل ویتامین B۱۲ [۲۳]، آمینو اسیدها [۲۴] و ... با روشهای مختلف مورد مطالعه قرار گرفته است.

HSA معمولاً به عنوان یک پروتئین مدل برای توصیف کمپلکس پروتئین - دارو مورد استفاده قرار می گیرد [۲۵ و ۲۶ و ۲۷].

اطلاعات برهم کنش دارو و HSA ما را در فهم بهتر جذب و توزیع دارو کمک می کند. بنابراین مطالعه روی این جنبه می تواند اطلاعاتی از لحاظ ساختاری فراهم کند که اثر بخشی مهم داروها را تعیین می کند و یک حوزه ای تحقیقاتی مهم در شیمی، علوم زیستی و پزشکی بوجود آورده است [۲۸ و ۳].

تمایل داروها به پروتئین به طور مستقیم روی غلظت دارو در جایگاه پیوندی و مدت زمان مؤثر بودن دارو و مقدارشان در اعمال زیستی در سیستم زنده مؤثر می باشد [۲۹ و ۲۵].

به این دلیل که حرکت داروها در پلاسمما و رسیدن به بافت هدف بوسیله ی پیوند شدن به HSA انجام می شود، HSA در جذب، پخش، متابولیسم و دفع داروها شرکت دارد. پیوند قوی می تواند غلظت داروهای آزاد در پلاسمما را کاهش دهد، در حالیکه پیوند ضعیف منجر به یک نیمه عمر کوتاه یا توزیع ضعیف شود [۱۰].

^۱. Surfactant

وقتی که داروهای به HSA پیوند می شوند به طور همزمان انواع مختلفی از برهم کنش ها بین داروها و HSA ممکن است اتفاق بیافتد، که پیوند شدن متعاون^۱، غیر متعاون^۲ و پیوند شدن رقابتی^۳ مثال هایی از این بر هم کنش هاست [۹].

به منظور درک بهتر برهم کنش های مختلف بین داروها و HSA، میزان تمايل و جایگاه قرارگرفتن داروها روی HSA باید تعیین شود. روش های مختلفی برای بررسی پیوند شدن داروها به آلبومین گزارش شده است، مثل دیالیز تعادلی [۳۰]، اولترافیلتراسیون [۳۱]، میکرواستخراج فاز جامد [۳۲]، اسپکتروسکوپی فلورسانس [۳۳]، الکتروفورز مویینه [۳۴] و روش های کروماتوگرافی [۳۵]. مکان پیوند شدن داروها روی HSA معمولاً با استفاده از جایگزینی رقابتی ردیاب های فلورسانس مطالعه می شود [۳۶ و ۳۷] و [۳۸].

برهم کنش HSA با داروهای ضد سرطان [۴۰ و ۳۹]، داروهای ضد فشار خون [۴۱]، فلاونوئیدها [۴۲]، اسیدهای آلیاتیک [۱۷]، داروهای ضد قارچ و ضد آرژی [۴۳]، اکسازپام [۴۴]، ایبوپروفن و دیازپام [۹] و آسپرین [۴۵] و به روش های مختلف مورد مطالعه قرار گرفته است.

۱. Co-operative

۲. Anti co-operative

۳. Competitive

۲-۱ پیوند شدن لیگاند به ماکروملکول

مطالعه پیوند شدن ملکول ها و یون های کوچک به ماکروملکول ها به منظور درک طبیعت انتقال و توزیع این گونه ها در سیستم های زیستی به این دلیل حائز اهمیت است که این قبیل برهم کنش ها نقش کلیدی در فرآیندهای انتقال و پختن ایفا می کنند. پیوند شدن لیگاند به ماکروملکول از نوع غیر کووالان می باشد [۴۶].

پیوند شدن، انواع مختلفی دارد. مثلاً یک ماکروملکول ممکن است فقط یک گروه شامل یک یا چند جایگاه پیوندی و یا چندین گروه پیوندی داشته باشد. جایگاه های پیوندی ممکن است یکسان و یا غیر یکسان، مستقل و یا وابسته باشند. در مورد جایگاه های وابسته، پر شدن یک جایگاه توسط یک لیگاند تمایل جایگاه های دیگر را برای پذیرش لیگاندها تغییر می دهد. برای درک نقش سیستم های بیوشیمیایی، نیاز است که تعداد جایگاه ها، میل پذیرش لیگاند آنها و میزان برهم کنش بین آن ها را بدانیم.

چندین روش اسپکتروفوتومتری به ویژه فلورسانس، FT-IR، CD، رزونانس مغناطیس هسته ای UV-Vis (NMR) و برای بررسی پیوند شدن ملکول های کوچک به ماکروملکول و توضیح تغییرات کونفورماتیونی آنها مورد استفاده قرار می گیرد [۴۸ و ۴۷ و ۴۲]. چند تکنیک دیگر نیز مانند الکتروفورز مویینه و کروماتوگرافی مایع با عملکرد بالا (HPLC) [۴۹] برای مطالعه شیوه پیوند شدن و ثابت های پیوندی مورد استفاده قرار می گیرد. از میان این روش ها فلورسانس، FT-IR و CD به دلیل حساسیت، انتخابگری و سهولت آن ها به صورت گسترده تری مورد استفاده قرار می گیرند.